



УДК 578.833.27'112.083.3

ИЗУЧЕНИЕ АНТИГЕННОЙ СТРУКТУРЫ ВИРУСА КЛЕЩЕВОГО ЭНЦЕФАЛИТА С ПОМОЩЬЮ СИНТЕТИЧЕСКИХ ПЕПТИДОВ

© 1998 г. Т. Д. Волкова[#], О. М. Вольнина, В. Т. Иванов,
С. Г. Рубин*, И. В. Семашко*, А. С. Караваев*

Институт биоорганической химии им. М.М. Шемякина и Ю.А. Овчинникова РАН,
117871, Москва, ГСП-7, ул. Миклухо-Маклая, 16/10;

*Институт полиомиелита и вирусных энцефалитов РАМН, Москва

Поступила в редакцию 30.04.97 г. Принята к печати 25.09.97 г.

Синтезирован ряд фрагментов оболочечного белка Е вируса клещевого энцефалита штамма Софьин. Все пептиды изучены в связывании с поликлональной сывороткой к белку Е. Проведена иммунизация крыс свободными пептидами и их KLH-конъюгатами. Полученные сыворотки проверены на способность связываться с белком Е, а также нейтрализовать вирус в культуре клеток. Показано, что только пептид последовательности 35–51 связывается в ИФА с антисывороткой к белку Е. Двукратная иммунизация KLH-конъюгатами пептидов последовательностей 98–113, 130–143 и 394–403 приводит к индукции у животных противопептидных антител, связывающихся с нативным белком Е, а антитела к KLH-конъюгатам пептидов 98–113 и 394–403 способны нейтрализовать вирус.

Ключевые слова: вирус клещевого энцефалита, гликопротеин Е, синтетические пептиды, антигенные детерминанты, ИФА, KLH-конъюгаты.

Вирус клещевого энцефалита, относящийся к семейству Flaviviridae, является одним из наиболее патогенных агентов, вызывающих поражение центральной нервной системы. Поэтому интерес к изучению антигенной структуры и механизмов функционирования вируса носит как теоретический, так и практический характер. Кроме того, успехи в разработке пептидной вакцины на примере вируса ящура [1] демонстрируют принципиальную возможность использовать подобный подход для создания других противовирусных вакцин. Вирион клещевого энцефалита, как типичного представителя флавивирусов, имеет икосаэдрический нуклеокапсид, построенный из множества копий единственного капсидного белка С, с заключенной внутри РНК. Капсид окружен бислойной липидной оболочкой, которая включает гликозилированный белок Е и небольшой белок М [2]. Показано, что капсидный белок С очень консервативен и несет на себе только группоспецифические антигенные детерминанты

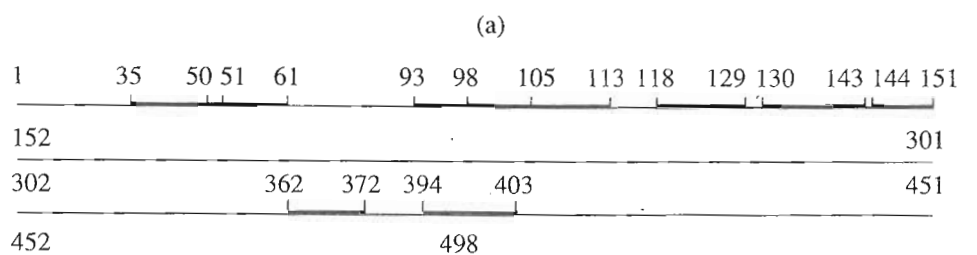
[3]. Функциональная роль белка М практически не выявлена, но, поскольку он полностью погружен внутрь липидного бислоя, представляется маловероятным, что данный белок может служить потенциальным антигеном. Гликопротеин Е – единственный белок, экспонированный на поверхности вириона, причем предполагают, что его N-концевая часть выступает над мембраной, а С-конец служит трансмембранным якорем [4]. Показано, что гликопротеин Е – главный компонент, проявляющий вируснейтрализующую и протективную активность, т.е. он несет на своей поверхности основные антигенные детерминанты. Кроме того, показано, что только белковая часть гликопротеина существенна для проявления антигенных и иммуногенных свойств [5, 6].

В представленной работе мы попытались с помощью синтетических пептидов выявить возможные антигенные детерминанты в структуре белка Е, основного носителя антигенных и иммуногенных свойств вируса. В качестве объекта исследования выбран вирус штамма Софьин, встречающийся на территории России. Исследуемый белок содержит 498 аминокислотных остатков [7].

Выбор фрагментов для синтеза (рисунок) проводился на основе данных теоретических методов анализа последовательности белка, позволяющих предсказать экспонированные и потенциально антигенные участки, а также литературных данных о локализации возможных эпигенов.

Сокращения: Аст – ацетамидометил, Вом – бензилоксиметил-, DCU – дициклогексилмочевина, DIEA – дизопропиопилэтамин, Fm – флуоренилметил-, НОВТ – 1-гидроксибензотриазол, cNx – циклогексил, KLH – гемоцианин улитки, Nr – нитрофенил-, OVA – овальбумин, РАМ – фенилацетамидометил-, Pfp – пентафторменил-, PBS – 0.01 M Na-фосфатный буфер, pH 7,4.

[#] Автор для переписки (тел.: 336-57-77).



(б)

35 Ala Glu Gly Lys Pro Ser Met Asp Val (I)

35 Ala Glu Gly Lys Pro Ser Met Asp Val Trp Leu Asp Ser Ile Tyr Gln Glu (II)

50 Gln Glu Asn Pro Ala Lys Thr Arg Glu (III)

50 Gln Glu Asn Pro Ala Lys Thr Arg Glu Tyr Cys Leu (IV)

64 Lys Leu Ser Asp Thr Lys Val Ala Ala Arg Cys Pro Thr Met Gly Pro Ala (V)

93 Lys Arg Asp Gln Ser Asp Arg Gly Trp Gly Asn His Ala (VI)

98 Asp Arg Gly Trp Gly Asn His Cys Gly Leu Phe Gly Lys Gly Ser Ile (VII)

105 Cys Gly Leu Phe Gly Lys Gly Ser Ile (VIII)

118 Lys Ala Ser Cys Glu Ala Lys Lys Ala Thr Gly (IX)

130 His Val Tyr Asp Ala Asn Lys Ile Val Tyr Thr Val Lys Val (X)

144 Glu Pro His Thr Gly Asp Tyr Val (XI)

362 Asn Pro Thr Ile Glu Asn Asn Gly Gly Phe (XII)

394 Gln Lys Gly Ser Ser Ile Gly Arg Val Phe (XIII)

Синтетические фрагменты гликопротеина Е (а) и их структура (б)

Считается, что основным условием для расположения участка на поверхности белка в его нативной конформации является гидрофильность данного фрагмента [8]. Поэтому нами был проведен

теоретический расчет гидрофильности для белка Е. С этим методом сходен другой использованный нами метод – определения акрофильных участков [9], основанный на данных рентгенострук-

турного анализа различных белков, исходя из которых рассчитан индекс вероятности расположения различных аминокислотных остатков в выступающих на поверхность участках. Мы использовали также метод расчета антигенных фрагментов [10], который учитывает статистические данные о частоте встречаемости определенных аминокислотных остатков в известных антигенных детерминантах различных белков. Кроме того, мы искали структурированные участки в молекуле белка Е, поэтому воспользовались теоретическими методами определения вторичной структуры – возможных α -спиральных [11], β -складчатых участков [12], β -изгибов [11].

Для синтеза выбирали потенциально гидрофильные фрагменты, являющиеся возможными В-эпитопами также и согласно другим критериям.

Проведенный анализ показал, что N-концевой участок белка (1–121) теоретически наиболее гидрофилен. Кроме того, известна работа, проведенная с помощью моноклональных антител на вирусе штамма Найдорф, распространенного в Западной Европе. Результаты этого исследования [13] говорят о том, что основная часть антигенных детерминант сосредоточена в N-концевой области белка. Однако этот район содержит четыре дисульфидных мостика [4], которые фиксируют конформацию данной части белка, создавая предпосылки для сближения аминокислотных остатков из различных экспонированных участков. Другими словами, весьма вероятно, что имеющиеся здесь В-эпитоны конформационно зависимы. Для проверки этой возможности были синтезированы пептиды (I)–(IX).

Выбор фрагмента 35–43 (I) основан на теоретических прогнозах его высокой гидрофильности и наличия β -изгибов во вторичной структуре. Затем фрагмент (I) был удлинен до остатка 51 (пептид II), поскольку нами была выявлена тенденция к образованию α -спирали участком 41–51. Пептид 50–58 (III) соответствует расчетному гидрофильному участку белка с β -изгибом в середине, его удлиненный вариант 50–61 (IV) добавляет β -складчатую структуру на С-конце. Пептиды 93–105 (VI) и 118–129 (IX) в соответствии с проведенными расчетами выделяются наиболее высокими показателями гидрофильности, а участок 118–129 белка также имеет вероятную β -складчатую структуру. Кроме того, участок 118–129 превосходит другие участки по значениям антигенностии.

Среди пептидов, относящихся к N-концевому домену белка Е, выделяется пептид 98–113 (VII). Данный участок интересен тем, что его последовательность имеет чрезвычайно высокую степень гомологии с аналогичными участками белков Е всего семейства flaviviruses. Мы предположили, что он может играть важную роль в функционировании вируса.

В последовательности белка Е имеются два гидрофильных участка, не включенных в N-концевой домен, образованный благодаря наличию в данном районе четырех дисульфидных мостиков. К первому из них относятся фрагменты 130–143 (X) и 144–151 (XI). Мы предположили, что эти участки могут быть экспонированы на поверхности белка, поскольку они расположены вблизи центра гликозилирования в положении 154. Кроме того, известна работа по изучению иммуногенности протеолитических фрагментов аналогичного белка Е другого представителя flaviviruses – вируса Западного Нила [14]. В ней было показано, что протеолиз белка Е идет по двум участкам, один из которых совпадает с фрагментом 130–143, что подтверждает вероятность расположения его на поверхности вириона. Другой участок, подвергающийся расщеплению ферментами, относится к гидрофильному району, удаленному от N-конца. Из этого района нами были синтезированы пептиды 362–372 (XII) и 394–403 (XIII).

Пептиды (VI), (IX), (X) и (XI) получены классическим методом в растворе по схемам 1–4 с использованием блочной конденсации фрагментов. Защитные группы трифункциональных аминокислот были выбраны с расчетом на конечное деблокирование пептидов (VI) и (IX) жидким фтористым водородом, а пептидов (X) и (XI) – гидрированием. В качестве временной N^{α} -защитной группы служила Вос-группа, а для защиты карбоксильной группы С-концевой аминокислоты использовали бензиловые, метиловые либо флуоренилметиловые эфиры.

Для последовательного наращивания пептидной цепи применяли, как правило, метод смешанных ангидридов, в случае остатков Asn и Gln – метод нитрофениловых эфиров, а для остатка His – метод DCC/HOBt. Остаток Thr при синтезе пептидов (IX) и (X) присоединяли методом пентафторфениловых эфиров, что давало более высокие выходы, чем при использовании метода смешанных ангидридов. Для введения остатка Тгр с незащищенной боковой группой в последовательность пептида (VI) получали его сукцинимидный эфир. Через сукцинимидный эфир присоединяли также в ходе синтеза пептида (XI) остаток Pro к трипептиду (LXb). Конденсацию фрагментов проводили методом пентафторфениловых эфиров без выделения промежуточного продукта либо DCC/HOBt-методом.

Защищенные пептиды очищали экстракцией и кристаллизацией, а в случае пептида (XIX) – адсорбционной хроматографией на силикагеле. Степень чистоты и протекание реакции контролировали с помощью ТСХ. Очистку деблокированных пептидов проводили гель-фильтрацией и ионообменной хроматографией.

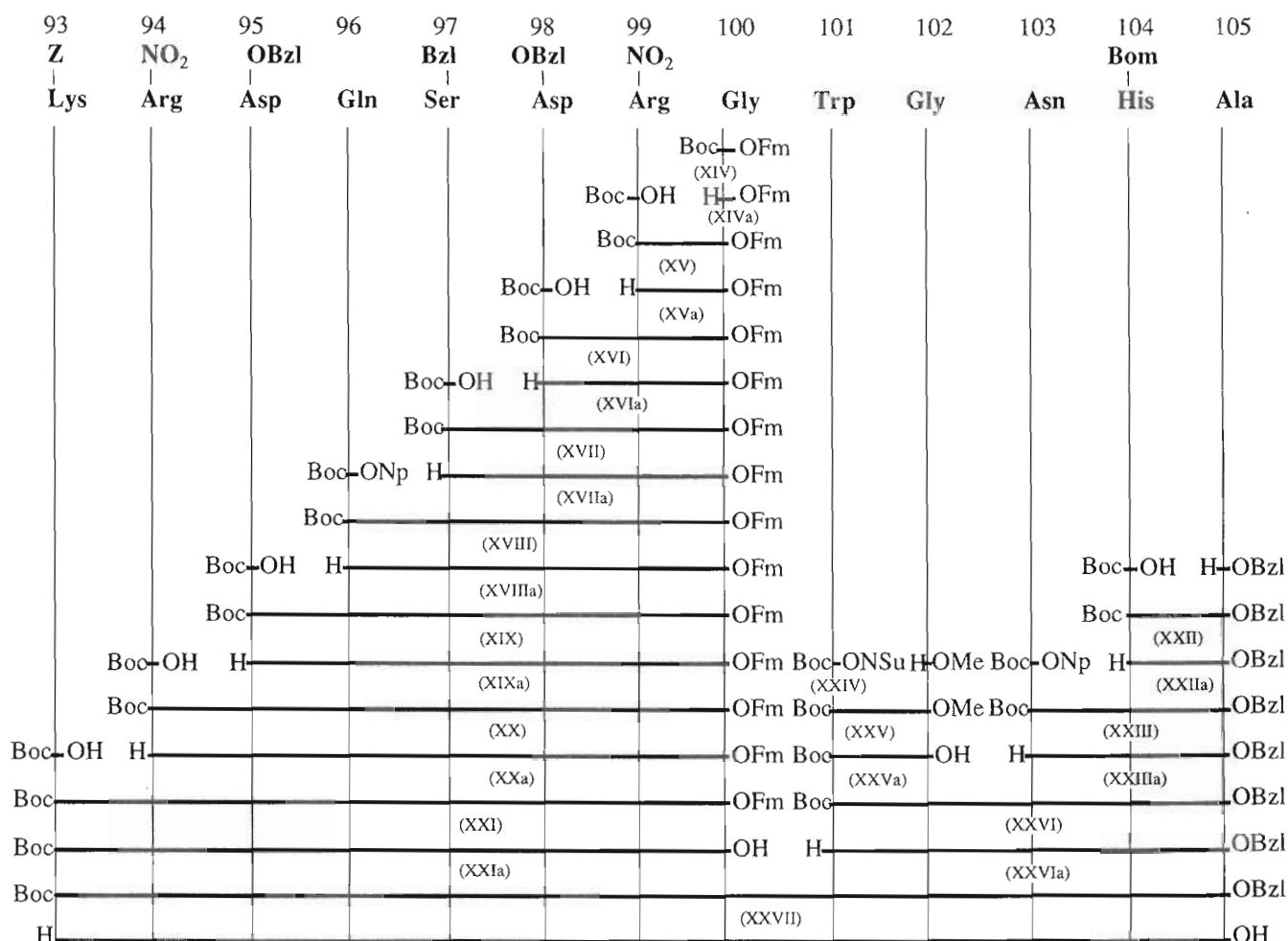


Схема 1. Синтез пептида 93-105 (VI)

Пептиды (I)–(V), (VII), (VIII), (XII) и (XIII) были синтезированы твердофазным методом путем последовательного наращивания цепи с С-конца, пептид (VII) – на синтезаторе Applied Biosystems 430A, остальные – в ручном варианте. Пептиды (I) – (III), (V), (VII) и (VIII) синтезированы на PAM-полимере, а пептиды (IV), (VI), (VIII) и (XII) – на хлорметилированном сополимере стирола с дивинилбензолом. Для временной защиты аминофункции применяли Вос-группу. Защитные группы боковых функций аминокислот, кроме остатка Cys(Acm), были выбраны с расчетом на конечное деблокирование жидким фтористым водородом.

Реакцию конденсации проводили двукратно, первоначально методом симметричных ангидридов, затем DCC/HOBТ-методом с предварительной активацией аминокислоты. При неудовлетворительном результате двукратной конденсации реакцию повторяли DCC/HOBТ-методом до полноты протекания реакции более 99%. Остатки Boc-Asn и Boc-Gln вводили в реакцию методом

п-нитрофениловых эфиров. Присоединение к остаткам Gln и Glu проводили только с помощью симметричных ангидридов в DMF во избежание побочной реакции образования пироглутаминовой кислоты. Каждый цикл синтеза заканчивали ацилированием непрореагировавших аминогрупп уксусным ангидридом. После введения в пептидную цепь остатка Met вос-группу во избежание окисления и алкилирования атома серы удаляли в присутствии меркаптоэтанола. Однако в случае пептида (V) в ходе синтеза произошло полное окисление остатка Met, что было установлено с помощью масс-спектрального анализа и ЯМР-исследования. Окисленный пептид после деблокирования восстанавливали дитиотреитом. После отделения от полимерного носителя и деблокирования с помощью жидкого фтористого водорода пептиды очищали гель-фильтрацией и ионообменной хроматографией.

Выход пептидов (IV), (VI), (VIII) и (XII), синтезированных на хлорметилированном полимере, составил 12–15% в расчете на первую аминокис-

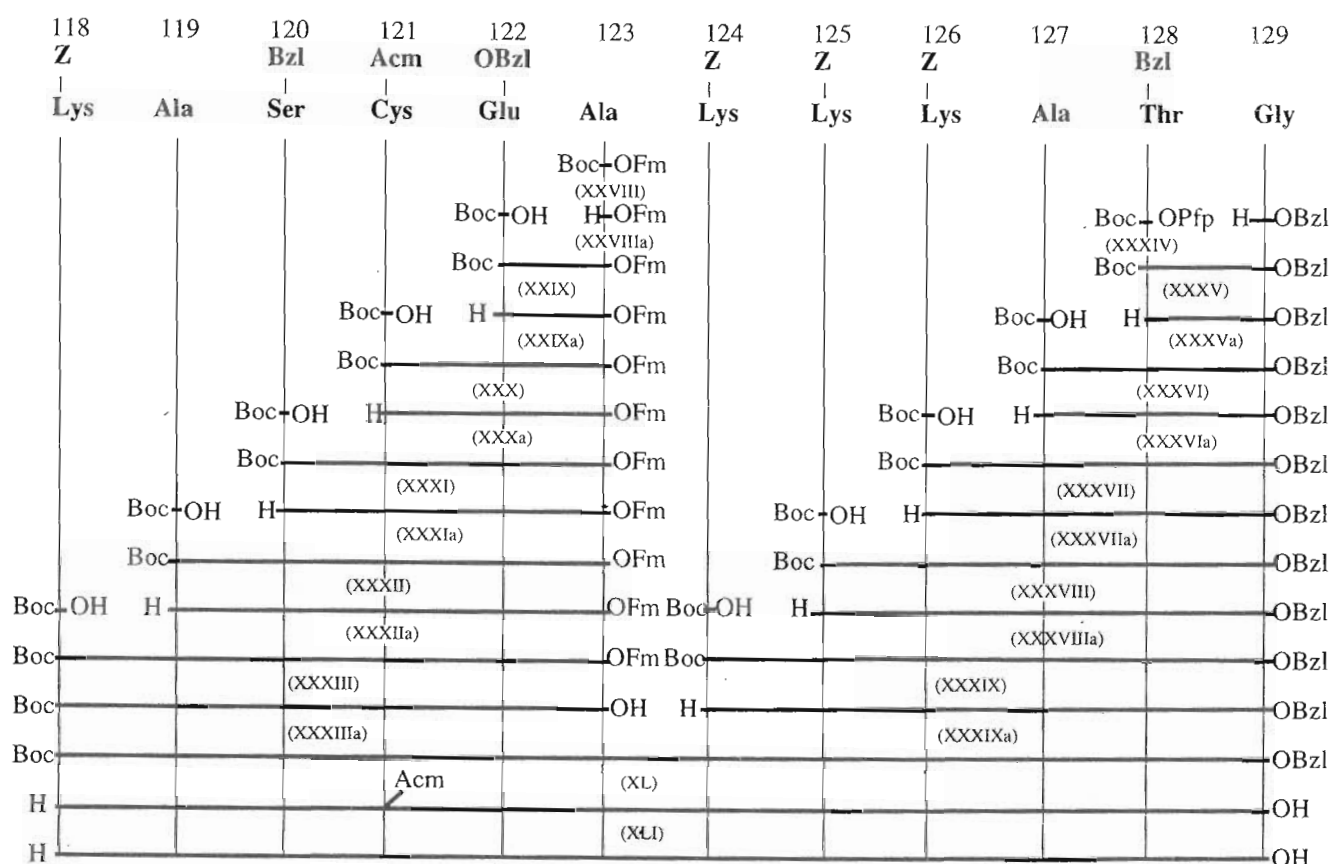


Схема 2. Синтез пептида 118-129 (IX)

лоту. Выход пептидов (I)–(III), (V), (VII) и (XIII) был существенно выше: 60–80%. Низкий выход пептидов первой группы, вероятно, объясняется известной побочной реакцией отщепления растущей пептидной цепи от хлорметилированного полимера. С другой стороны, выходы были ниже там, где использовали бензиловые эфиры для защиты боковых функций остатков Asp и Glu. При использовании производных Boc-Asp(OcHx) и Boc-Glu(OcHx) выходы были выше.

Индивидуальность полученных соединений подтверждена данными аминокислотного анализа после кислотного гидролиза, а свободных пептидов, полученных в растворе, – также данными аминокислотного анализа после ферментативного гидролиза. Кроме того, для всех свободных пептидов получены данные N-концевого анализа, масс-спектрометрии и обращенно-фазовой ВЭЖХ. В пептидах, имеющих в последовательности остатки Cys, определяли содержание SH-групп с помощью реактива Эллмана. В случае пептида (VI), в ходе синтеза которого использовали незащищенный Trp, наличие в его последовательности неокисленного остатка Trp определяли с помощью УФ-спектроскопии.

Иммуногенность синтезированных пептидов была изучена на крысах (табл. 1). Крысы были иммунизированы двукратно как свободными пептидами, так и их конъюгатами с KLH. Полученные сыворотки исследовались в ИФА на присутствие противопептидных антител и на их способность связываться с нативным белком Е, а также на способность нейтрализовать вирус в культуре клеток. Показано, что в свободном виде данные пептиды неиммуногенны. Титр противопептидных антител был незначителен (<1, табл. 1). Сыворотки, полученные от иммунизации KLH-конъюгатами пептидов, имели высокие титры противопептидных антител, однако только для KLH-конъюгатов пептидов 98–113, 130–143 и 394–403 были получены антитела, способные связываться с белком Е с достаточно высокими титрами (3.1, 2.2 и 2.2 соответственно). Все сыворотки были исследованы в реакции нейтрализации вируса по методу редукции числа бляшек на культурах перевиваемых клеток почки эмбриона свиньи [6]. Показано, что антитела к конъюгатам пептидов 98–113 и 394–403 способны нейтрализовать вирус с индексом 3.0 и 2.6 соответственно, в то время как индекс нейтрализации гликопroteина Е составляет 4.4.

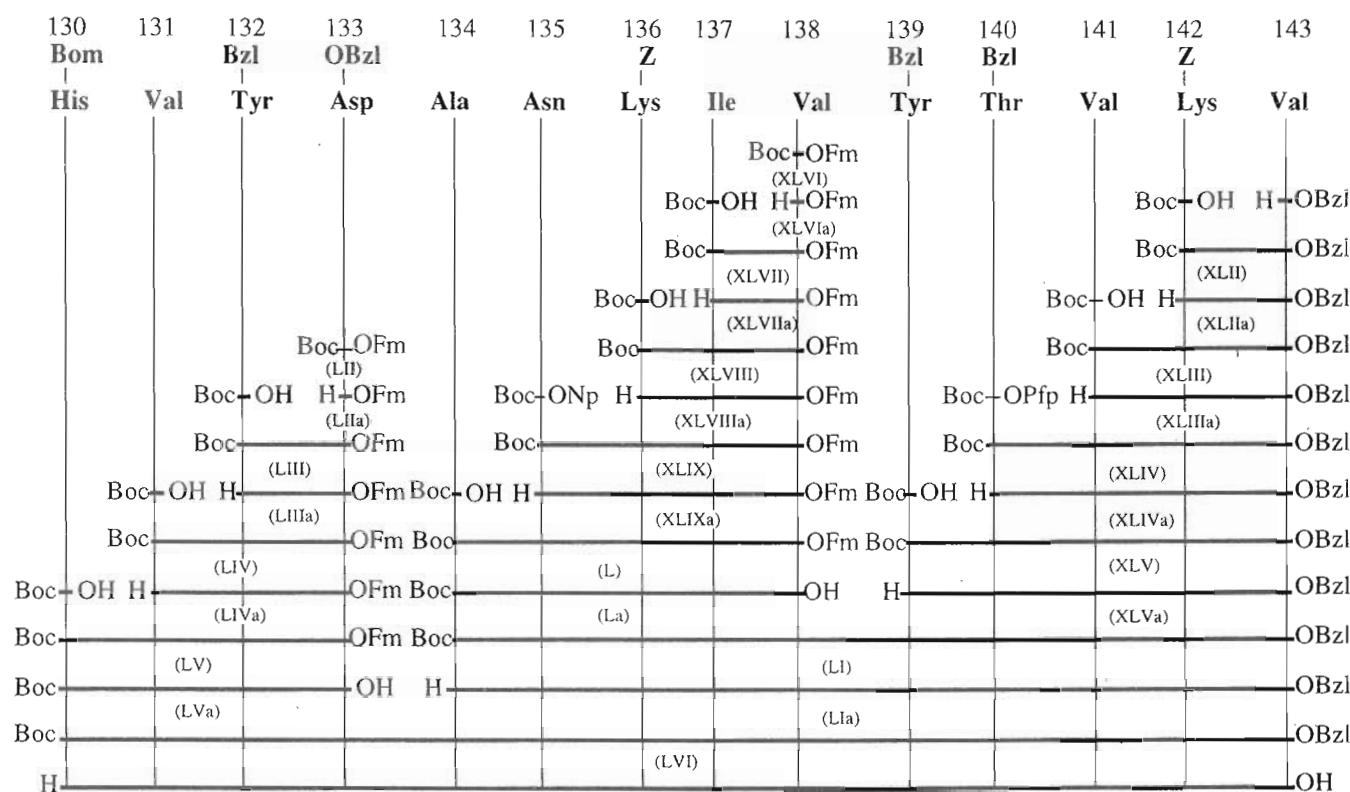


Схема 3. Синтез пептида 130-143 (X)

Пептиды были изучены в ИФА на способность связываться с поликлональной сывороткой к белку Е (табл. 2). Было установлено, что из всех синтезированных пептидов лишь пептид последовательности 35–51 связывается с противобелковой сывороткой (с титром 3.7). Этот факт наряду с тем обстоятельством, что антитела к данному пептиду не связываются с нативным белком Е, по-видимому, указывает на то, что фрагмент 35–51 является частью конформационно зависимого В-эпитопа. Интересно, что пептиды 98–113 и 394–403, вызывающие при иммунизации образование антител, связывающихся с белком Е и обладающих вируснейтрализующей активностью, сами не способны связываться с антисывороткой к белку Е. Другими словами, соответствующие фрагменты не являются В-эпитопами свободного белка Е. Возможно, данные фрагменты белка экспонируются на поверхности вириона в ходе проникновения вируса в клетку и только после этого становятся доступными действию антител.

Таким образом, синтезировано 13 пептидов, покрывающих значительную часть последовательности гликопroteина E, изучены их иммuno-генные и антигенные свойства. Показано, что фрагмент 35–51 – часть конформационно зависимого В-эпитопа, а два пептида последовательности 98–113 и 394–403 вызывают при иммунизации

образование вируснейтрализующих антител, вероятно, имеющих нетрадиционный механизм нейтрализации.

ЭКСПЕРИМЕНТАЛЬНАЯ ЧАСТЬ

В работе использованы реагенты и производные фирм Reanal (Венгрия), Fluka (Швейцария), PRF (Япония) и Merck (ФРГ), аминометилированный сополимер стирола и 1% дивинилбензола фирмы PRF (0.6 ммоль NH_2 -групп на 1 г полимера), хлорметилированный сополимер стирола и 1% дивинилбензола фирмы Bio-Rad (1.34 ммоль Cl на 1 г полимера). ТСХ на пластинках с закрепленным слоем силикагеля Kieselgel 60 (Merck, ФРГ) проводили в системах, состав которых указан в табл. 3. Обработку защищенных пептидов, а также пептидилполимеров жидким фтористым водородом проводили в приборе Toho Kasei. Для колончной хроматографии использовали сефадексы G-10, G-25, CM- и DEAE-сефадекс C-25 (Pharmacia, Швеция), а также CM- и DEAE-трисакрил (LKB, Швеция); поглощение элюата регистрировали при помощи детектора Uvicord S11 (LKB, Швеция). Для ВЭЖХ использовали приборы фирм Du Pont (США) и Beckman System Gold (США); колонки – Ultrasphere ODS, TSK ODS. Гидролиз пептидов проводили в смеси 6 н. HCl–TFA (2 : 1) в течение 45 мин при 170°C или в 6 н. HCl в

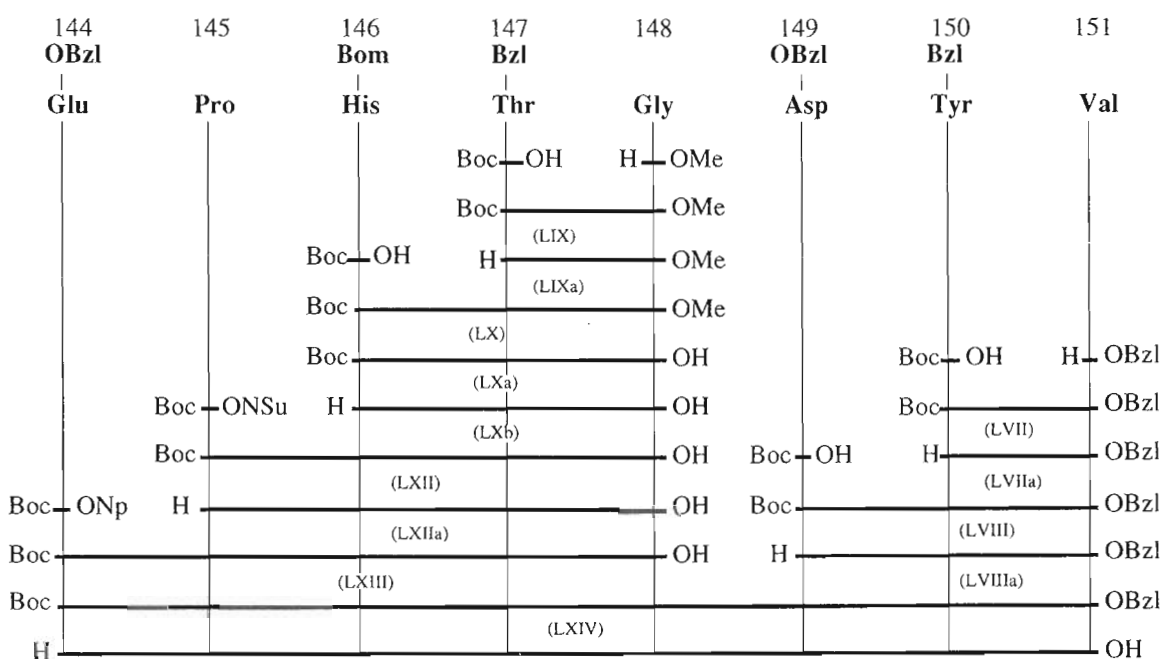


Схема 4. Синтез пептида 144-151 (XI)

течение 24 ч при 115°C. Растворители очищали согласно известным методикам [15]. Масс-спектр снимали на приборе Kratos MS 50 TC методом FAB.

Условия получения и очистки соединений (XIV)–(LXa), синтезированных в растворе, приведены в табл. 4.

Синтез проводили по следующим методикам:

A. Удаление Вос-группы. Пептид растворяли в смеси CF₃COOH–CH₂Cl₂ (1 : 1) либо в 70% водной CF₃COOH. Через 30–40 мин раствор упаривали, к остатку добавляли толуол и раствор снова упаривали, операцию повторяли 2–3 раза.

Б. Метод смешанных ангидридов. К охлажденному до –15°C раствору 1.5 экв. карбоксильного компонента и 1.5 экв. N-метилморфолина в минимальном объеме DMF добавляли 1.4 экв. изобутилхлорформиата, смесь перемешивали 1–2 мин при –15°C, затем добавляли по каплям раствор 1 экв. трифторацетата аминокомпонента и 1 экв. N-метилморфолина в DMF. Реакционную массу перемешивали 30 мин при –15°C.

В. Метод n-нитрофениловых эфиров. Раствор 1 экв. n-нитрофенилового эфира карбоксильного компонента, 1 экв. трифторацетата аминокомпонента, 1 экв. N-метилморфолина и 2 экв. НОВТ в минимальном объеме DMF перемешивали 3–15 ч при 20°C.

Г. Получение пентафтторфениловых эфиров. Раствор 1 экв. аминокислоты или пептида и 1.5 экв. пентафтторфенола в тетрагидрофуране

охлаждали до –5°C, а затем добавляли 1.2 экв. DCC. Реакционную массу перемешивали 1 ч при 0°C и 2 ч при 20°C, DCU отфильтровывали, а полученный эфир либо сразу вводили в реакцию (Г1), либо выделяли (Г2).

Д. Метод пентафтторфениловых эфиров. К раствору 1 экв. пентафтторфенилового эфира карбоксильного компонента в DMF добавляли 1 экв. трифторацетата аминокомпонента, предварительно нейтрализованного 1 экв. N-метилморфолина, и реакционную массу перемешивали 2 ч при 0°C и 1–10 ч при 20°C.

Е. Получение флуоренилметиловых эфиров. Раствор 1 экв. аминокислоты, 1 экв. флуоренилметанола и 0.1 экв. диметиламинопиридина в этилацетате охлаждали до 0°C, затем добавляли 1,2 экв. DCC и перемешивали 30 мин при 0°C и 4 ч при 20°C, после чего DCU отфильтровывали.

Ж. Удаление флуоренилметилового эфира. Эфир пептида растворяли в 20% растворе пиперидина в DMF и выдерживали 40–60 мин при 20°C. Раствор разбавляли этилацетатом, подкисляли 1 н. HCl до pH водной фазы 2.5, органическую фазу промывали водой.

З. DCC/НОВТ-метод. К раствору 1 экв. карбоксильного компонента в диоксане прибавляли 1.2 экв. DCC и 2 экв. НОВТ при 4°C. Через 30 мин добавляли 1 экв. трифторацетата аминокомпонента, нейтрализованного N-метилморфолином. Реакционную массу перемешивали 30 мин при 4°C и 2–15 ч при 20°C. Затем DCU отфильтровывали.

И. Получение N-оксисукциниimidных эфиров. Раствор 1 экв. аминокислоты и 1 экв. N-оксисукциниимида в THF охлаждали до -5°C , затем добавляли 1 экв. DCC. Реакционную массу перемешивали 1 ч при 0°C и 2 ч при 20°C , DCU отфильтровывали.

К. Метод N-оксисукциниimidных эфиров.

1. К раствору 1 экв. сукциниimidного эфира аминокислоты в DMF добавляли 1 экв. трифтормацетата аминокомпонента, предварительно нейтрализованного 1 экв. N-метилморфоролина, и реакционную массу перемешивали 20 ч при 20°C .

2. К охлажденной до 0°C суспензии 1 экв. гидрохлорида аминокомпонента и 2 экв. NaHCO_3 в 50% водном диоксане добавляли 0.5 экв. N-оксисукциниimidного эфира карбоксильного компонента и перемешивали 1 ч при 0°C и 20 ч при 20°C . Затем смесь подкисляли 1 н. HCl до pH 2.5 и экстрагировали пептид этилацетатом.

Л. Омыление метилового эфира пептида. Пептид растворяли в 0.1 н. NaOH в CH_3OH , через 40 мин раствор подкисляли CH_3COOH до pH 5, упаривали и очищали экстракцией.

М. Удаление Асм-группы. К раствору 1 экв. Асм-защищенного пептида в воде добавляли 10 экв. ацетата ртути. Через 4 ч при комнатной температуре к раствору добавляли 500 экв. меркаптоэтанола. При этом выпадал осадок сульфида ртути. Через 2 ч осадок отфильтровывали, а пептид выделяли хроматографически.

Н. Удаление защитных групп гидрированием. Пептид растворяли в смеси $\text{CH}_3\text{OH}-\text{HCOOH}$ (7 : 3), добавляли Pd-чернь и пропускали водород в течение 10–20 ч при 20°C . Катализатор отфильтровывали и фильтрат упаривали.

О. Удаление защитных групп жидким фтористым водородом.

1. Защищенный пептид или пептидилполимер обрабатывали смесью HF-*n*-крезол (90 : 10) в течение 1 ч при 0°C . После удаления фтористого водорода остаток промывали эфиром (5×30 мл), сушили и экстрагировали пептид 10% раствором уксусной кислоты. Раствор лиофилизовали.

2. Защищенный пептид или пептидилполимер обрабатывали 2 ч при 0°C смесью 65% диметилсульфида, 10% *n*-крезола и 25% жидкого HF. Фтористый водород и диметилсульфид отгоняли в вакууме, твердый остаток промывали эфиром (3×30 мл) и сушили. На втором этапе повторяли операции, описанные в методике O1.

Методы очистки продукта реакции

П. Реакционную смесь упаривали, остаток растворяли в этилацетате, в случае низкой растворимости отдельных пептидов использовали *n*-бутанол. Полученный раствор промывали 5%

Таблица 1. Иммуногенность пептидов на крысах

Иммуноген	Титр антител, Ig		Индекс нейтрализации
	противо-пептидных	противо-белковых	
35–51	<1.0	<1.0	<1.0
35–51-KLH	2.4	<1.0	<1.0
50–61	<1.0	<1.0	<1.0
50–61-KLH	2.1	<1.0	<1.0
93–105-KLH	2.1	<1.0	<1.0
98–113	1.0	<1.0	<1.0
98–113-KLH	3.8	3.1	3.0
118–129-KLH	2.4	<1.0	<1.0
130–143	1.0	<1.0	<1.0
130–143-KLH	2.4	2.2	<1.0
362–372-KLH	2.1	<1.0	<1.0
394–403	<1.0	<1.0	<1.0
394–403-KLH	3.4	2.2	2.6
Гликопротеин Е		>5.5	4.4

Таблица 2. Связывание синтетических пептидов с антителами к белку Е

Пептид	Титр антител, Ig
35–51	3.7
50–61	<1.0
50–58	<1.0
98–113	<1.0
105–113	<1.0
118–129	<1.0
130–143	<1.0
362–372	<1.0
394–403	<1.0
Гликопротеин Е	>5.0

Таблица 3. Условия хроматографии в тонком слое

Растворитель	Объемные соотношения компонентов в системах											
	1	2	3	4	5	6	7	8	9	10	11	12
Гексан	3						3					
Эфир	1						1					
Хлороформ	10	9	6	3	1	1	3					
Этилацетат	1	10	3	3	1	1	1	1	10	4		
Метанол	1	1	1	1	1	0.1	1				4	42
<i>n</i> -Бутанол												24
Пиридин												
Уксусная кислота								0.1	1	1	1	4
Вода									1	1	1	30

Таблица 4. Условия получения и очистки соединений, синтезированных в растворе

Соединение	Метод синтеза*	Метод очистки*	Выход, %	R_f (система**)
(XIV)	Е	П	72	0.51 (1)
(XIVa)	А	Т (эфир)	99	0.26 (9); 0.52 (5)
(XV)	Б	П	80	0.41 (3)
(XVa)	А	Т (эфир)	98	0.55 (10)
(XVI)	Б	П	97	0.74 (5); 0.42 (3)
(XVIa)	А	Т (эфир)	98	0.62 (10); 0.27 (9)
(XVII)	Б	П, С (этилацетат–эфир)	78	0.75 (5); 0.42 (3)
(XVIIa)	А	Т (эфир)	99	0.60 (10)
(XVIII)	В	П, С (этилацетат–эфир)	70	0.75 (5); 0.48 (9)
(XVIIIa)	А	Т (эфир)	99	0.46 (10)
(XIX)	Б	П, У (силикагель, система №5)	56	0.71 (5); 0.5 (3)
(XIXa)	А	Т (эфир)	98	0.42 (10)
(XX)	Б	Р	78	0.56 (5); 0.27 (3)
(XXa)	А	Т (эфир)	98	0.38 (10)
(XXI)	Г1, Д	Р	90	0.68 (9); 0.91 (10)
(XXIa)	Ж		70	0.58 (10)
(XXII)	З	П	98	0.62 (4); 0.82 (5)
(XXIIa)	А	Т (эфир)	99	0.39 (9); 0.72 (10)
(XXIII)	В	П, С (эфир–пентан)	69	0.51 (5); 0.26 (3)
(XXIIIa)	А	Т (эфир)	98	0.28 (10)
(XXIV)	И	П, С (эфир–пентан)	87	0.70 (3)
(XXV)	К1	П, С (эфир–пентан)	90	0.80 (5); 0.71 (3)
(XXVa)	Л	П	91	0.82 (10); 0.67 (9)
(XXVI)	Г1, Д	П, С (этилацетат–эфир)	82	0.61 (10); 0.17 (9); 0.29 (5)
(XXVIa)	А (1% МЭ***)	Т (эфир)	97	0.30 (10)
(XXVII)	Г1, Д	Т (этилацетат–эфир)	85	0.56 (10)
(XXVIII)	Е	П	78	0.55 (1)
(XXVIIIa)	А	Т (эфир)	98	0.62 (4)
(XXX)	Б	П, С (этилацетат–пентан)	76	0.80 (5); 0.62 (3)
(XXXa)	А	Т (эфир)	97	0.70 (6)
(XXXI)	Б	П, С (этилацетат–пентан)	81	0.75 (5); 0.60 (3)
(XXXIa)	А	Т (эфир)	98	0.8 (6)
(XXXII)	Б	П, С (этилацетат–эфир)	74	0.65 (5); 0.28 (3)
(XXXIIa)	А	Т (эфир)	98	0.57 (10)
(XXXIII)	Б	Р	79	0.48 (5); 0.56 (9)
(XXXIIIa)	Ж		69	0.62 (10)
(XXXIV)	Г2	С (гексан, -60° С)	80	0.48 (1)
(XXXV)	Д	П, С (эфир–гексан, -60° С)	98	0.75 (2); 0.21 (1)
(XXXVa)	А	Т (эфир)	99	0.53 (5)
(XXXVI)	Б	П, С (этилацетат)	68	0.45 (3); 0.70 (4)
(XXXVIa)	А	Т (эфир)	95	0.61 (9)
(XXXVII)	Б	П, С (этилацетат–эфир)	88	0.61 (3); 0.8 (4)
(XXXVIIa)	А	Т (эфир)	97	0.7 (9)
(XXXVIII)	Б	Р	93	0.42 (3); 0.84 (5); 0.73 (4)
(XXXVIIIa)	А	Т (эфир)	97	0.33 (10)
(XXXIX)	Б	Р	91	0.85 (5); 0.67 (4); 0.35 (10)
(XL)	Г1, Д	Р	82	0.68 (10); 0.22 (9)

Таблица 4. (Окончание)

Соединение	Метод синтеза*	Метод очистки*	Выход, %	R_f (система**)
(XLI)	O2			
(XLII)	Б	П, С (этилацетат–эфир–гексан)	82	0.31 (1); 0.76 (2)
(XLIIa)	А	Т (эфир)	99	0.5 (5)
(XLIII)	Б	П, С (этилацетат–гексан)	85	0.48 (3); 0.65 (4)
(XLIIIa)	А	Т (эфир)	99	0.7 (9)
(XLIV)	Д	П, С (этилацетат–эфир)	78	0.42 (3); 0.79 (5)
(XLIVa)	А	Т (эфир)	98	0.39 (9)
(XLV)	Б	Р	69	0.65 (5); 0.42 (4)
(XLVa)	А	Т (эфир)	99	0.32 (10)
(XLVI)	Е	П	72	0.45 (1)
(XLVIa)	А	Т (эфир)	98	0.55 (5)
(XLVII)	Б	П, С (эфир–гексан, –60° С)	71	0.4 (1)
(XLVIIa)	А	Т (эфир)	98	0.42 (3)
(XLVIII)	Б	П, С (этилацетат–эфир)	75	0.22 (1); 0.7 (2)
(XLVIIIa)	А	Т (эфир)	97	0.66 (5)
(XLIX)	В	Ф	85	0.71 (5); 0.42 (4)
(XLIXa)	А	Т (эфир)	99	0.5 (6)
(L)	Б	Ф	91	0.48 (4); 0.35 (3)
(La)	Ж		87	0.62 (9)
(LI)	З	Р	90	0.35 (8); 0.70 (9)
(LIa)	А	Т (эфир)	98	0.33 (10)
(LII)	Е	П	86	0.63 (1)
(LIIa)	А	Т (эфир)	97	0.61 (9)
(LIII)	Б	П, С (этилацетат–эфир)	78	0.36 (7); 0.70 (2)
(LIIIa)	А	Т (эфир)	98	0.62 (3)
(LIV)	Б	П, С (этилацетат–эфир)	70	0.51 (2); 0.22 (7)
(LIVa)	А	Т (эфир)	99	0.65 (5)
(LV)	З	П, С (этилацетат–эфир)	65	0.33 (3); 0.77 (5)
(LVa)	Ж		82	0.5 (8)
(LVI)	З	Ф	72	0.48 (10)
(LVII)	Б	П, С (эфир–гексан)	71	0.5 (1)
(LVIIa)	А	Т (эфир)	99	0.46 (5)
(LVIII)	Б	П, С (эфир–пентан)	80	0.73 (3); 0.25 (2)
(LVIIIa)	А	Т (эфир)	98	0.51 (9)
(LIX)	Б	П, С (эфир–гексан)	75	0.42 (3); 0.66 (4)
(LIXa)	А		98	0.65 (10)
(LX)	З	П	62	0.64 (5); 0.25 (4)
(LXa)	Л	П		0.56 (10)
(LXb)	А		98	0.28 (11)
(LXI)	И	П	85	0.73 (3)
(LXII)	К	Ф	91	0.62 (10)
(LXIIa)	А		97	0.32 (11)
(LXIII)	К	Ф	90	0.53 (10)
(LXIV)	З	Р	77	0.29 (6); 0.22 (9); 0.61 (10)

* Методы синтеза и очистки соединений описаны в "Экспериментальной части".

** См. табл. 3.

*** 2-Меркаптоэтанол.

NaHCO_3 , водой, 10% лимонной кислотой, водой, высушивали над безводным Na_2SO_4 и упаривали.

Р. В реакционную смесь наливали 5% раствор NaHCO_3 , выпавший осадок отфильтровывали, промывали в фильтре 5% NaHCO_3 , водой, 10% лимонной кислотой, водой, сушили, затем промывали этилацетатом и эфиром.

С. Кристаллизовали из растворителя, указанного в табл. 4 в скобках, и отфильтровывали.

Т. Раствор упаривали до минимального объема и продукт реакции осаждали растворителем, указанным в табл. 4 в скобках, и отфильтровывали.

У. Хроматографическая очистка. Условия хроматографии указаны в табл. 4 в скобках.

Ф. Пептид осаждали из реакционной смеси этилацетатом, фильтровали и промывали на фильтре этилацетатом, затем эфиром.

Для твердофазного синтеза пептидов (I)–(III), (V), (VII) и (XII) использовали Вос-аминоацил-PAM-полимеры фирмы PRF.

Вос-аминоацил-полимеры для синтеза пептидов (IV), (VI), (VIII) и (XII) получали реакцией це-зиевой соли Вос-аминокислоты и хлорметилированного полимера по методике [16].

Использовали следующий протокол каждого синтетического цикла (10–15 мл растворителя на 1 г полимера):

- 1) CH_2Cl_2 (2×1 мин),
- 2) $\text{CH}_2\text{Cl}_2\text{-TFA}$, 1 : 1 (1 мин),
- 3) $\text{CH}_2\text{Cl}_2\text{-TFA}$, 1 : 1 (30 мин),
- 4) CH_2Cl_2 (5×1 мин),
- 5) DIEA– CH_2Cl_2 , 5 : 95 (2×2 мин),
- 6) DMF (3×1 мин),
- 7) 3 экв. симм. ангидрида Вос-аминокислоты в DMF (1 ч),
- 8) DMF (2×1 мин),
- 9) CH_2Cl_2 (2×1 мин),
- 10) DIEA– CH_2Cl_2 , 5 : 95 (2×2 мин),
- 11) DMF (3×1 мин),
- 12) 3 экв. НОВТ-эфира Вос-аминокислоты в DMF (2 ч),
- 13) DMF (3×1 мин),
- 14) CH_2Cl_2 (2×1 мин),
- 15) изопропанол (3×1 мин),
- 16) ацилирование смесью $\text{CH}_2\text{Cl}_2\text{-Ac}_2\text{O}$ –пиридин, 60 : 20 : 20 (1 ч),
- 17) CH_2Cl_2 (3×1 мин),
- 18) изопропанол (3×1 мин).

Для получения симметричного ангидрида защищенной аминокислоты к 6 экв. Вос-аминокислоты в 10 мл CH_2Cl_2 приливали раствор 3 экв. DCC в DMF при 0°C. После перемешивания в течение 30 мин выпавшую DCU отфильтровывали, а раствор использовали для проведения реакции конденсации.

Гидроксибензотриазоловые эфиры получали в результате реакции 3 экв. Вос-аминокислоты, 3 экв. НОВТ и 3 экв. DCC в смеси $\text{CH}_2\text{Cl}_2\text{-DMF}$ при 0°C в течение 10 мин. Образовавшуюся DCU от-

фильтровывали, раствор использовали для проведения реакции конденсации.

В ходе синтеза соединений (LXI), (LXII) и (LXV) после присоединения остатка Met на стадиях 2 и 3 протокола вместо смеси $\text{CH}_2\text{Cl}_2\text{-TFA}$ (1 : 1) использовали смесь $\text{CH}_2\text{Cl}_2\text{-TFA}$ –2-меркаптоэтанол (48 : 48 : 4).

Контроль протекания реакций конденсации осуществляли после стадии 14 с помощью нингидринового [17] и пикринового [18] тестов.

Синтез пептидилполимера (LXVI) проводили с помощью синтезатора Applied Biosystems 430A с использованием той же схемы, что и в ручном варианте, но без стадии ацилирования непрореагировавших аминогрупп (пп. 16–18 протокола).

Деблокирование с одновременным отщеплением от смолы в синтезах пептидов (IV), (VIII), (XII) и (XIII) проводили методом **O1**, для пептидов (I)–(III), (V) и (VII) – методом **O2**. В случае пептидов (I) и (VII) на первом этапе использовали смесь Me_2S –*n*-крезол–тиокрезол–HF (65 : 5 : 5 : 25), а в сосуд с HF добавляли 1 г триптофана.

Восстановление пептида (V) с окисленным остатком Met. 50 г пептида растворяли в 1.5 мл 0.1 н. AcOH , добавляли 25 мг дитиотреита и нагревали смесь до 50°C в течение 21 ч.

В пептидах (III), (V), (VII) и (VIII) после деблокирования удаляли Acm-защиту методом **M**.

Получение препаратов для иммунизации. Конъюгацию пептидов проводили согласно описанной методике [19]. 15 мг KLH и 2 мг пептида в 2 мл PBS перемешивали 30 мин, затем в течение 1 ч добавляли по каплям 0.5 мл 0.5% водного раствора глутарового альдегида. Реакционную массу перемешивали 15 ч, после чего диализовали против PBS с трехкратной сменой буфера.

Иммунизация животных. Крысы Вистар массой 170–190 г были первично иммунизированы KLH-конъюгированными или свободными пептидами в дозе 200 мкг (в пересчете на пептид) с полным адъювантом Фрейнда в подушечки лап или внутримышечно; через 30 сут повторно в той же дозе внутримышечно в неполном адъюванте Фрейнда. Кровь отбирали на 45-е сут после первой иммунизации.

Титр противопептидных и противобелковых антител определяли **твердофазным иммуноферментным анализом** ("непрямой" метод), который проводили как описано в работе [20]. В первом случае в качестве антигена на плату наносили OVA-конъюгаты пептидов в концентрации 100 мкг/мл, во втором – белок Е в концентрации 10 мкг/мл. Поглощение измеряли при 492 нм на приборе Titertek Multiskan Plus. За титр антител принимали соответствующее разведение антисыворотки, дающее окрашивание в 0.1 ОЕ и превышающее фоновый уровень в 4 раза.

Приготовление OVA-конъюгатов. 10 мг пептида и 20 мг OVA растворяли в 1 мл PBS и при перемешивании в течение 1 ч добавляли 0.1 мл 20% водного раствора солянокислого 1-этил-3-(3-диметиламинопропил)карбодииамида. Полученный раствор перемешивали 15 ч, после чего дialisировали как описано выше.

Молярное соотношение пептид–носитель определяли по результатам количественного аминокислотного анализа [21], оно составляло от 5 до 10 моль пептида на 1 моль носителя.

Реакцию нейтрализации вируса клещевого энцефалита противопептидными сыворотками проводили по методу редукции числа бляшек на культурах перевиваемых клеток СПЭВ (почки эмбриона свиньи) [6]. Равные объемы 10-кратных разведений вируса и противопептидных сывороток или контрольной нормальной сыворотки (в минимальном разведении) инкубировали 1 ч при 37°C, смеси засевали по 0.2 мл во флаконы с 3-суточным, хорошо сформировавшимся монослоем клеток СПЭВ, культуры заливали расплавленным (остуженным до 50°C) 2.5% агаром и инкубировали их при 37°C в течение нескольких суток до окончания процесса бляшкообразования. Затем вычисляли индекс нейтрализации как отношение выявленных титров вируса с иммунной и нормальной сыворотками.

СПИСОК ЛИТЕРАТУРЫ

1. Volpina O.M., Yarov A.V., Zhmak M.N., Kupriano-va M.A., Chepurkin A.V., Toloknov A.S., Ivanov V.T. // Vaccine. 1996. V. 14. P. 1375–1380.
2. Heinz F.X., Kunz Ch. // J. Gen. Virol. 1981. V. 57. P. 263–274.
3. Trent D.W. // J. Virol. 1977. V. 22. P. 608–618.
4. Mandl C.W., Guirakhoo F., Holzmann H., Heinz F.X., Kunz Ch. // J. Virol. 1989. V. 63. P. 564–571.
5. Heinz F.X., Tuma W., Kunz Ch. // Infect. Immun. 1981. V. 33. P. 250–257.
6. Чумаков М.П., Рубин С.Г., Кусов Ю.Ю., Семашко И.В., Сальников Я.А., Прессман Е.К., Цехановская Н.А. // Вопр. вирусологии. 1984. Т. 29. С. 701–705.
7. Pletnev A.G., Yamshchikov V.F., Blinov V.M. // FEBS Lett. 1986. V. 200. P. 317–721.
8. Hopp Th.P., Woods K.R. // Proc. Natl. Acad. Sci. USA. 1981. V. 78. P. 3824–3828.
9. Hopp Th.P. // J. Immunol. Methods. 1986. V. 88. P. 1–18.
10. Welling G.W., Weijer W.J., Zee R., Welling-Wester S. // FEBS Lett. 1985. V. 188. P. 215–218.
11. Chou P.Y., Fasman G.D. // Biophys. J. 1979. V. 26. P. 367–369.
12. Garnier J., Osguthorpe D.J., Robson B. // J. Mol. Biol. 1978. V. 120. P. 97–101.
13. Heinz F.X., Berger R., Tuma W., Kunz Ch. // Virology. 1983. V. 126. P. 525–537.
14. Wengler G., Wengler G., Nowak T., Wahn K. // Virology. 1987. V. 160. P. 210–219.
15. Perrin D.D. Purification of Laboratory Chemicals. N.Y.: Pergamon Press, 1980. P. 1–563.
16. Gisin B.F., Merrifield R.B. // J. Am. Chem. Soc. 1972. V. 94. P. 6165–6170.
17. Sarin V.K., Kent S.B.H., Tam J.P., Merrifield R.B. // Anal. Biochem. 1981. V. 117. P. 147–157.
18. Gisin B.F. // Anal. Chim. Acta. 1972. V. 58. P. 248–249.
19. Pfaff E., Mussgay M., Bohm H.O., Schulz G.E., Schaller H. // EMBO J. 1982. V. 1. P. 869–874.
20. Суровой А.Ю., Гельфанов В.М., Вольпина О.М., Иванов В.Т., Чепуркин А.В., Иванющенков В.Н., Дрягалин Н.Н., Бурдов А.Н. // Биоорган. химия. 1989. Т. 15. С. 1185–1192.
21. Brand J.P., Muller S., Van Regenmortel M.H.V. // J. Immunol. Methods. 1985. V. 78. P. 59–69.

The Study of Antigenic Structure of the Tick-borne Encephalitis Virus by Means of Synthetic Peptides

T. D. Volkova*, O. M. Volpina*, V. T. Ivanov*, S. G. Rubin**, I. V. Semashko**, and A. S. Karavanov**

* Shemyakin-Ovchinnikov Institute of Bioorganic Chemistry, Russian Academy of Sciences,
ul. Miklukho-Maklaya 16/10, GSP-7 Moscow, 117871 Russia

** Institute of Poliomyelitis and Viral Encephalitis, Russian Academy of Medical Sciences, Moscow, 142782 Russia

A number of peptides, fragments of the envelope protein E of the tick-borne encephalitis virus (Sofjin strain), were synthesized. Their binding to the polyclonal antiserum to protein E was studied. Rats were immunized with both the free peptides and their KLH-conjugates, and the resulting antisera were tested for their reactivity toward protein E and for their neutralizing activity toward the virus in cell culture. The only peptide corresponding to the 98–113 sequence of protein E was shown to be bound by the protein E antiserum in EIA. Two-fold immunization of rats with KLH-conjugates of the peptides corresponding to the 98–113, 130–143, and 394–403 sequences of protein E resulted in antipeptide antibodies capable of binding the native protein E, and the antibodies to the 98–113 and 394–403 peptides were capable of neutralizing the virus.

Key words: tick-borne encephalitis virus, glycoprotein E, synthetic peptides, antigenic determinants, EIA, KLH-conjugates